

## 고효율 필터의 용융시 방사성 핵종 및 중금속의 거동 모사조건 해석 - HEPA 필터의 열역학적 모델 분석

이석철, 윤인호, 최왕규, 양희철, 이준엽, 이근우

한국원자력연구원, 대전광역시 유성구 대덕대로 1045

chol618@kaeri.re.kr

### 1. 서 론

HEPA 필터는 일반산업체의 폐기물 소각, 용융, 제강 등의 공조시스템과 반도체 제조공정과 의료분야에서 크린 룸 (clean-room) 등 산업 전반에 걸쳐 넓게 사용되고 있다. 이를 공정 중에 HEPA 필터는 중금속으로 오염되었고 대부분 지정폐기물로 처리하고 있다. 원자력 연구원 내 연구시설(연구용 원자로, 우라늄 변환시설, 조사후 시험시설, 조사재 시험시설 등)에서 현재까지 발생된 HEPA 필터 폐기물이 발생되어 방사성 폐기물 저장고에 약 1500 드럼이 저장되어 있다. 특히 사용 후 핵연료를 취급하는 DFDF (Duplic Fuel Demonstration Facility) 과 조사후 시험 시설의 공정 중 발생된 HEPA 필터는 고방사성 물질로 오염되어 폐기물이 발생하고 있다. 또한 가동 중인 원자력 발전소에서 연간 약 3000 개, 한전 원자력 연료 주식회사(KNF)에서 연간 약 900 개의 폐기물 HEPA 필터가 발생한다. 국내 핵연료 주기 연구개발을 통해 발생되는 폐기물 관리에 대한 효율성 및 안정성을 위해서 HEPA 필터 폐기물 처리기술 개발은 필수적이다. HEPA 필터 폐기물 열적 처리는 저방사성 폐기물에 대해 일부 수행되고 있으나, 국내 기술기반이 매우 취약한 상태이다. 본 논문에서는 HEPA 필터 폐기물의 고온 용융시 HEPA 필터내 핵종 및 중금속의 휘발성 평가 분석하였다.

### 2. 방법 및 결과

#### 2.1. 열역학적 모델 분석 방법

주요 HEPA 필터의 성분을 XRD로 분석하였고 성분표를 이용하여 HSC Chemistry 5.11 (Calculation of Equilibrium Compositon v 5.1 Copyright Outokumpu Research Oy, Pori, Finland, A. Roine, 1974-2002)을 사용하였다. Table 1에서는 HEPA 필터의 유리섬유의 성분을 분석하였다. SiO<sub>2</sub>가 55 % 이상 존재하며 Al<sub>2</sub>O<sub>3</sub>

와 Na<sub>2</sub>O, CaO가 각각 10% 정도 존재하는 것으로 나타났다.

Table 2.1.1. HEPA filter Glass Fiber (wt%).

Chemical composition (wt%)	
SiO <sub>2</sub>	56.7
Al <sub>2</sub> O <sub>3</sub>	11.6
Na <sub>2</sub> O	10.1
CaO	9.95
BaO	3.95
K <sub>2</sub> O	3.06
ZnO	3.02

	mol	Weight(g)
ZnO	0.01537	1.245
PbO	0.00483	1.077
SrO	0.01224	1.273
CrO <sub>3</sub>	0.01308	1.308
Co(NO <sub>3</sub> ) <sub>6</sub> H <sub>2</sub> O	0.01697	4.939
CsNO <sub>3</sub>	0.00752	1.467

Table 2.1.2. Considered chemical species in the model calculation.

Considered chemical species in the model calculation	
SiO <sub>2</sub>	Si, Si <sub>3</sub> N <sub>4</sub> , Si <sub>2</sub> N <sub>2</sub> O, SiO <sub>2</sub>
Al <sub>2</sub> O <sub>3</sub>	Al <sub>2</sub> CO <sub>2</sub> , AlN, AlO, Al <sub>2</sub> O <sub>3</sub> , Al <sub>2</sub> SiO <sub>5</sub>
Na <sub>2</sub> O	Na, Na <sub>3</sub> N, NaNO <sub>2</sub> , NaNO <sub>3</sub> , NaO <sub>2</sub> , Na <sub>2</sub> O, Na <sub>2</sub> O <sub>2</sub> , Na <sub>2</sub> SiO <sub>3</sub>
CaO	Ca, CaAl <sub>2</sub> , CaAl <sub>2</sub> O <sub>4</sub> , Ca <sub>3</sub> N <sub>2</sub> , Ca(NO <sub>3</sub> ) <sub>2</sub> , CaO, CaO <sub>2</sub> , CaSi, Ca <sub>2</sub> Si, CaSiO <sub>3</sub> , Ca <sub>3</sub> SiO <sub>5</sub> , Ca <sub>3</sub> Si <sub>2</sub> O <sub>7</sub> , CaZn <sub>2</sub> , CaZn <sub>2</sub>
CsNO <sub>3</sub>	CsNO <sub>2</sub> , CsNO <sub>3</sub> , CsNO <sub>2</sub> (g), CsNO(g), CsO(g), Cs <sub>2</sub> O, Cs(g), CsNO <sub>3</sub> (g)

#### 2.2. 분석

HSC의 그래프 분석 결과 HEPA 필터의 SiO<sub>2</sub>, Al<sub>2</sub>O<sub>3</sub>, Na<sub>2</sub>O, CaO, BaO, K<sub>2</sub>O 그리고 ZnO를 주요 성분으로 공기와 용융시 fig.2.2.1 그래프를 나타냈다. Cs-SiO<sub>2</sub>, Cs<sub>2</sub>O-Al<sub>2</sub>O<sub>3</sub>-SiO<sub>2</sub>는 실험에 포함시키지 않았다.

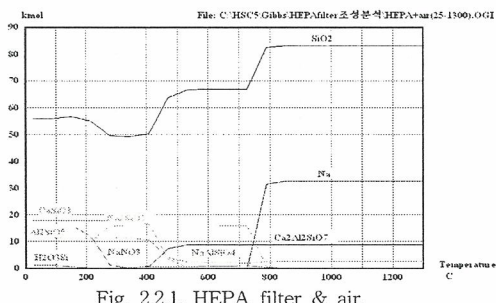
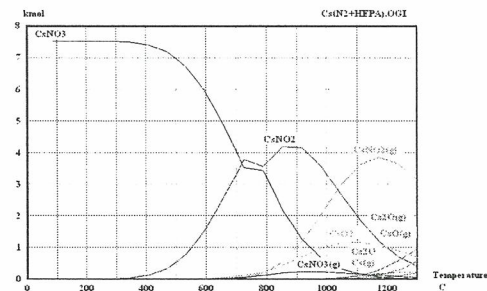
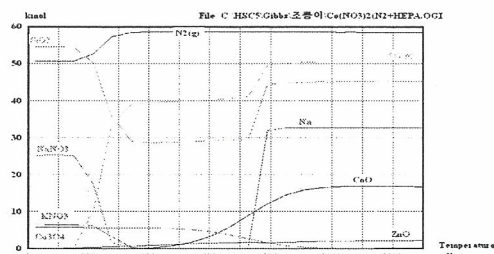


Fig. 2.2.1. HEPA filter &amp; air.

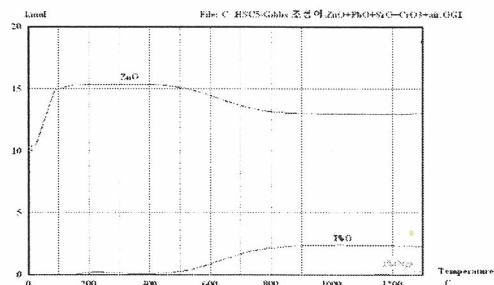
HEPA 필터를 공기중 노출시켜 용융시 주요 물질인  $\text{SiO}_2$ ,  $\text{Al}_2\text{O}_3$ ,  $\text{Na}_2\text{O}$ ,  $\text{CaO}$  등 안정된 물질로 남아있었다.

Fig. 2.2.2.  $\text{CsNO}_3$ .

$\text{CsNO}_3$  가 500 °C에서 급격하게 줄어든다.  $\text{CsNO}_3(\text{g})$  와  $\text{Cs}(\text{OH})(\text{g})$  가 발생하여 휘발하기 때문인 것으로 나타났다.  $\text{CsNO}_3$ 의 경우 휘발을 막기 위한 additive가 필요하다.

Fig. 2.2.3.  $\text{CoNO}_3$ .

$\text{CoNO}_3$  와 HEPA 필터 용융시  $\text{Co}_3\text{O}_4$  가 생성되나 400 °C 전에 사라지며 안정된 물질로 전류한다.

Fig. 2.2.4.  $\text{ZnO}$ ,  $\text{PbO}$ ,  $\text{SrO}$ ,  $\text{CrO}_3$ 

주요 중금속의 공기중 휘발성 모델 실험 결과  $\text{PbO}$ 는 150 °C에서 증가함을 볼 수 있다. 하지만 휘발하지 않기 때문에 HEPA 필터를 용융시 안정한 물질로 남아있을 것으로 추정된다. 1130 °C에서  $\text{PbO}(\text{g})$  가 발생하는 걸 볼 수 있다. HEPA 필터의 용융은 900°C 미만에서 이루어지기 때문에 별도의 포집장치가 필요치 않다.

### 3. 결론

- HEPA filter media의 주성분은 유리화에 적합한 물질로 구성되어 있고 용융시 중금속 및 핵종과의 낮은 휘발성을 가지고 있는 것으로 나타났다.
- 주요 중금속  $\text{Pb}$ ,  $\text{Zn}$ ,  $\text{Sr}$ ,  $\text{Cr}$  경우 HEPA 필터 용융시 휘발이 거의 일어나지 않는다. 그러나 방사성핵종  $\text{Cs}$ 의 경우 400 °C에서 휘발하기 시작하기 때문에 휘발을 막기 위한 additive가 필요하다.
- 중금속 및 주요 핵종 휘발 문제를 해결하면 최대 감용/감증 효과을 얻을 수 있다.

### 4. 감사의 글

본 연구는 2011년도 교육과학기술부의 한국과학재단 원자력 연구개발 사업의 지원으로 수행되었습니다.

### 5. 참고문현

- [1] Ji, Y. Y., Hong, D. S., Kang, I. S and Shon, J. S. : Current Status of the Spent Filter Waste and Consideration of Its Treatment Method in KAERI, J. of the Korean Radioactive Waste society, 5(3) 257-266 (2007).